



# МОДЕЛИРОВАНИЕ ТЕМПЕРАТУРНОГО ПОЛЯ ТРЕУГОЛЬНИКА С ДИСКРЕТНЫМИ УСЛОВИЯМИ ДИРИХЛЕ НА ГРАНИЦЕ

УДК 519.3

## ЛИТВИНЕНКО Елена Ивановна

к.т.н., доцент кафедры высшей математики и математического моделирования Херсонского национального технического университета.

**Научные интересы:** математическое моделирование и информационные технологии в естественных и технических науках, методы и модели восстановления функций, принцип барицентрического усреднения.

## АСТИОНЕНКО Игорь Александрович

к.ф.-м.н., доцент кафедры высшей математики и математического моделирования Херсонского национального технического университета.

**Научные интересы:** теоретические основы серендиповых аппроксимаций.  
**e-mail:** astia@ukr.net

## ХОМЧЕНКО Анатолий Никифорович

д.ф.-м.н., профессор, заведующий кафедрой прикладной и высшей математики Черноморского государственного университета им. П.Могилы.

**Научные интересы:** теоретические основы серендиповых аппроксимаций, методы и модели восстановления функций, принцип барицентрического усреднения.

### ПОСТАНОВКА ПРОБЛЕМЫ

Трехточечная граничная задача Дирихле в треугольнике (симплексе), как известно, имеет точное решение в терминах барицентрических координат (полный многочлен первой степени). Ниже рассматривается треугольный комплекс в случае, когда для определения полного многочлена уже недостаточно узлов на границе и требуется внутренний узел, который в граничной задаче неуместен. При исключении внутреннего узла важно сохранить не только полноту многочлена, но и обеспечить физическую адекватность поля и точность аппроксимации. Известная схема Сьярле-Равьяра исключения внутреннего узла в треугольнике (конденсация) приводит к нарушению физической адекватности спектра узловых нагрузок (эффект гравитационного «отталкивания»). Интересно исследовать чувствительность температурного поля треугольника

относительно схемы конденсации соответствующего правила усреднения граничных температур.

### АНАЛИЗ ПРЕДШЕСТВУЮЩИХ ПУБЛИКАЦИЙ

Симплексные модели [1, 2], связанные с использованием линейных интерполяционных функций в конечном элементе, одним из первых стали применяться в работах Тэрнера, Клафа, Мартина и Топпа (1956), Синга (1957), Галлагера, Пэдлога и Бейларда (1962).

Комплексные модели на основе интерполяционных многочленов высших порядков [1] использовали Вёбеке (1965), Аргирис (1965), Фелиппа (1966), Зенкевич и Ченг (1967) и другие.

Здесь рассматривается треугольник с 10-ю узлами (9 на границе и 1 в центре тяжести). Это элемент третьего порядка [3]. Внутренний узел в принципе можно исключить по схеме Сьярле-Равьяра [2] так, чтобы температура в произвольной точке треугольника выражалась через 9

граничных значений температуры. В статье предложены альтернативные схемы конденсации.

**Цель статьи** – сформулировать и решить задачу аппроксимации температурного поля в треугольной области с дискретными условиями Дирихле на границе. Исследовать чувствительность поля относительно вариации внутренней моды.

**ОСНОВНАЯ ЧАСТЬ**

Чтобы изложить ключевые идеи метода барицентрического усреднения (МБУ) граничных потенциалов, начнем с простого треугольника (симплекса). На рис. 1 показан треугольник  $P_1P_2P_3$  с координатами вершин соответственно  $(x_1, y_1), (x_2, y_2), (x_3, y_3)$ .

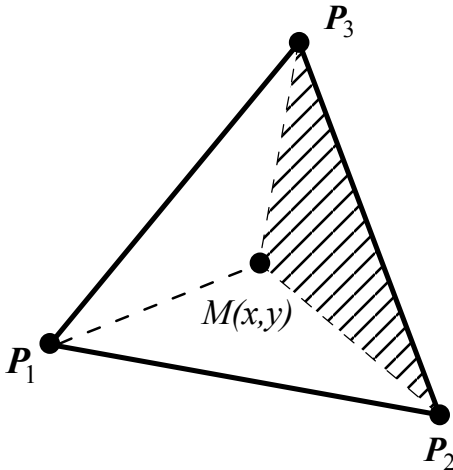


Рисунок 1 – Двумерный симплекс

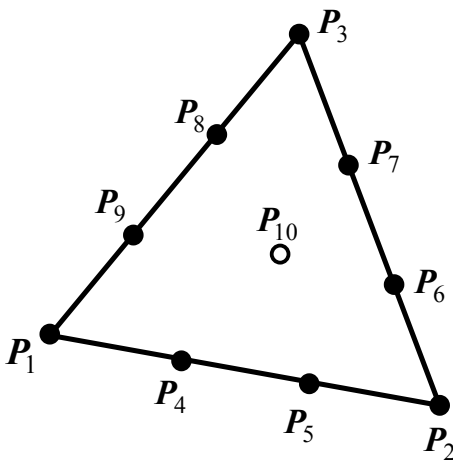


Рисунок 2 – Треугольник с 9-ю термоэлементами на границе

Предполагается, что в вершинах  $P_1, P_2, P_3$  помещены термоэлементы, поддерживающие постоянные темпе-

ратуры  $T_i (i = 1, 2, 3)$ . Температура в любой точке  $M(x, y)$  треугольника определяется через граничные температуры  $T_i$  с помощью интерполяционного полинома

$$T(x, y) = \alpha_1 + \alpha_2 x + \alpha_3 y = \sum_{i=1}^3 L_i(x, y) T_i, \quad (1)$$

где  $T_i$  – известные значения температуры в вершинах;  $L_i(x, y)$  – локальные координаты площади (барицентрические координаты симплекса).

Барицентрическая координата  $L_i(x, y)$  – это относительная площадь треугольника, противолежащего узлу  $i$ . Например (рис. 1),

$$L_i(x, y) = \frac{S_{\Delta MP_2P_3}}{S_{\Delta P_1P_2P_3}}, \quad (2)$$

где  $S_{\Delta MP_2P_3} = \frac{1}{2} \begin{vmatrix} 1 & x & y \\ 1 & x_2 & y_2 \\ 1 & x_3 & y_3 \end{vmatrix}$ ,  $S_{\Delta P_1P_2P_3} = \frac{1}{2} \begin{vmatrix} 1 & x_1 & y_1 \\ 1 & x_2 & y_2 \\ 1 & x_3 & y_3 \end{vmatrix}$ .

Нетрудно установить, что  $0 \leq L_i(x, y) \leq 1$ ,

$$L_i(x_k, y_k) = \begin{cases} 1, & i = k, \\ 0, & i \neq k; \end{cases} \quad 1 \leq i, k \leq 3, \quad \sum_{i=1}^3 L_i(x, y) = 1.$$

Как видим, барицентрические координаты обладают всеми свойствами вероятностей. А решение 3-точечной граничной задачи (1) строится как среднее значение (математическое ожидание).

Решение (1) в барицентрических координатах в точности удовлетворяет уравнению Лапласа и граничным условиям Дирихле. Привлекательное свойство треугольника в том, что с увеличением количества узлов на треугольнике все базисные функции выражаются через барицентрические координаты  $L_i(x, y)$ .

Теперь рассмотрим случай, когда на границе треугольника регулярно расположены 9 термоэлементов: в вершинах  $P_1, P_2, P_3$  и в точках трисекции сторон  $P_1, \dots, P_9$  (рис. 2). Задача состоит в построении полинома типа (1), выражающего температуру в любой точке треугольника через 9 граничных значений температуры. Для построения полного многочлена третьей степени требуется 10-й узел, который удобно выбрать в центре тяжести треугольника. Исходная система базисных функций такова [4]:

$$N_1(x, y) = \frac{1}{2} L_1 (3L_1 - 1) (3L_2 - 2),$$

$$N_4(x, y) = \frac{9}{2} L_1 L_2 (3L_1 - 1).$$

Из  $N_1(x, y)$  легко получить  $N_2(x, y)$  и  $N_3(x, y)$ , а из  $N_4(x, y)$  получаются остальные функции в промежуточных узлах на границе. Наконец,  $N_{10}(x, y) = 27L_1L_2L_3$ . Теперь  $N_{10}(x, y)$  необходимо распределить между граничными узлами. Так осуществляется преобразование (редукция) треугольника лагранжева типа в треугольник серендипова типа. Исключить внутренний параметр можно по формуле [2]:

$$\bar{N}_i(x, y) = N_i(x, y) + \alpha_i N_{10}(x, y), \quad (i = \overline{1,9}). \quad (3)$$

В 1972 г. [2] Сьярле и Равьяр предложили следующий «рецепт» редукции:

$$\alpha_i = \begin{cases} -1/6, & (i = 1, 2, 3); \\ 1/4, & (i = 4, \dots, 9). \end{cases} \quad (4)$$

При этом нарушается физическая адекватность спектра узловых нагрузок. Есть опасения, что правило (4) способно исказить и температурное поле треугольника. Поэтому поиски других «рецептов» продолжают. Например, физическую адекватность спектра узловых нагрузок обеспечивает равномерное распределение  $N_{10}(x, y)$ , т.е. при

$$\alpha_i = \frac{1}{9} \quad (i = \overline{1,9}). \quad (5)$$

Еще один подходящий «рецепт»

$$\alpha_i = \begin{cases} -1/18, & (i = 1, 2, 3); \\ 5/36, & (i = 4, \dots, 9). \end{cases} \quad (6)$$

Окончательно решение граничной задачи принимает вид:

$$T(x, y) = \sum_{i=1}^9 \bar{N}_i(x, y) T_i. \quad (7)$$

Чтобы протестировать правила (4), (5) и (6), конкретизируем граничные температуры  $T_i$ . Пусть, к примеру,  $T_i = (10i)^\circ$ , где  $i$  – номер узла на границе ( $i = \overline{1,9}$ ). В качестве контрольной точки возьмем центр тяжести треугольника. Сразу напрашивается простое решение – арифметическое среднее:  $T_c = 50^\circ$ . Этот результат ассоциируется с правилом (5). Анализируя форму области,

можно предположить, что эта температура занижена, хотя для итерационной процедуры это хорошее нулевое приближение. Правило Сьярле-Равьяра существенно завышает температуру:  $T_c = 87,5^\circ$ . Лучший результат дает правило (6):  $T_c = 57,5^\circ$ .

Тестирование показывает, что схема Сьярле-Равьяра не может участвовать в «споре моделей» (по меткому выражению Е.С. Вентцель). Что же касается моделей (5) и (6), необходимы компьютерные эксперименты с блуждающими частицами на границе. Информация из «первых рук» помогает сделать правильный выбор.

Результаты компьютерного моделирования таковы. Из 2400 частиц, стартовавших из центра треугольника, в среднем 136 частиц закончили блуждания в вершине треугольника, промежуточный узел в среднем поглощает 332 частицы.

При этом расчетная формула обретает вид:

$$T_c^\circ = \frac{1}{n} \sum_{i=1}^9 n_i T_i^\circ, \quad \text{где } n = 2400, \\ n_i = \begin{cases} 136, & (i = 1, 2, 3); \\ 332, & (i = 4, \dots, 9). \end{cases}$$

Эмпирическая температура в центре треугольника  $T_c = 57,5^\circ$ . Теоретическая температура в любой внутренней точке треугольника определяется по формуле (7) с коэффициентами редукции (6).

## ВЫВОДЫ

Как и следовало ожидать, температурное поле треугольника третьего порядка оказалось весьма чувствительным относительно вариации внутренней моды. Если модифицированные функции  $\bar{N}_i(x, y)$  подобрать правильно, то формула (7) реализует несеточную одношаговую 9-маршрутную схему случайных блужданий на треугольнике. Интересно получить подобные результаты на треугольнике 4-го порядка.

## ЛИТЕРАТУРА:

1. Oden Dzh. Konechnye jelementy v nelinejnoj mehanike sploshnyh sred /Dzh. Oden. – М.: Mir, 1976. – 464 s.
2. Mitchell Je. Metod konechnykh jelementov dlja uravnenij s chastnymi proizvodnymi /Je. Mitchell, R. Ujejt. – М.: Mir, 1981. – 216 s.
3. Homchenko A.N. Geometricheskoe modelirovanie na diskretnykh jelementah /A.N. Homchenko, G.Ja. Tuluchenko. – Herson: OLDI-pljus, 2007. – 270 s.
4. Konnor Dzh. Metod konechnykh jelementov v mehanike zhidkosti /Dzh. Konnor, K. Brebbia. – L.: Sudostroenie, 1979. – 264 s.

Рецензент: д.т.н., проф. Крючковский В.В., Херсонский национальный технический университет, Херсон.